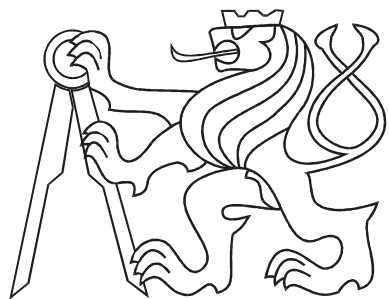


ČESKÉ VYSOKÉ UČENÍ TECHNICKÉ V PRAZE
FAKULTA ELEKTROTECHNICKÁ



BAKALÁŘSKÁ PRÁCE

Fyzikální modely ve Virtual Reality
Toolboxu

Praha, 2007

Autor: Jan Váňa

Prohlášení

Prohlašuji, že jsem svou bakalářskou práci vypracoval samostatně a použil jsem pouze podklady (literaturu, projekty, SW atd.) uvedené v přiloženém seznamu.

V Praze dne _____

_____ podpis

Poděkování

Děkuji především vedoucímu bakalářské práce Jiřímu Roubalovi za jeho ochotu a trpělivost.

Abstrakt

Cílem této bakalářské práce je vytvoření virtuálních modelů některých jednoduchých systémů, které jsou používány ve výuce a jsou umístěny v laboratoři K26 katedry řídicí techniky fakulty elektrotechnické českého učení technického v Praze. Tyto virtuální modely snad pomohou ke zkvalitnění výuky na katedře řídicí techniky a pomohou studentům v předmětech jako jsou SAM a SRI.

Abstract

The main goal of this bachelor work is to create virtual models of some simple systems, which are situated in the laboratory K26 at the Department of Control Engineering at Electrotechnical Faculty of Czech Technical University in Prague. These virtual models can be also used as teaching examples at the Department of Control Engineering and can help to students to make their work easier in subjects like SAM and SRI.

Obsah

Seznam obrázků	vii
1 Úvod	1
2 Systém vodárny se zubovým čerpadlem	3
2.1 Matematicko-fyzikální popis	3
2.2 Simulinkové schéma	5
2.3 Simulace systému	6
2.4 Kontrola simulací systému	7
2.5 Virtuální model systému	8
3 Systém vodárny s odstředivým čerpadlem	9
3.1 Matematicko-fyzikální popis	9
3.2 Simulace systému	11
3.3 Kontrola simulací systému	12
3.4 Virtuální model systému	13
4 Systém inverzní kyvadlo	15
4.1 Matematicko-fyzikální popis	15
4.2 Simulinkové schéma	21
4.3 Simulace chování systému inverzního kyvadla	21
4.4 Virtuální realita systému	23
5 Tvorba virtuální reality	25
6 Závěr	27
Literatura	29

A CD

I

Seznam obrázků

2.1	Systém vodárna	3
2.2	Převodní charakteristika zubového čerpadla $u_i \rightarrow q_i$	4
2.3	Simulinkové schéma modelu vodárny	6
2.4	Časové průběhy signálů pro různé vstupní napětí u	6
2.5	Časové průběhy signálů pro různá otevření ventilu k	7
2.6	Virtuální svět systému vodárny	8
3.1	Převodní charakteristika odstředivého čerpadla $u \rightarrow p_i$	10
3.2	Časové průběhy signálů pro různé vstupní napětí u	11
3.3	Časové průběhy signálů pro různá otevření ventilu k	12
3.4	Simulinkové schéma	13
4.1	Inverzní kyvadlo	15
4.2	Moment setrvačnosti	18
4.3	Simulinková schémata	21
4.4	Časové průběhy simulace	22
4.5	Časové průběhy simulace inverzního kyvadla	23
4.6	Virtuální svět systému vodárny	24
5.1	Virtuální svět systému vodárny se dvěmi nádržemi	25

Kapitola 1

Úvod

Hlavním úkolem této práce je vytvoření virtuálních modelů jednoduchých systémů (vodárny a inverzního kyvadla). Tyto virtuální modely pak budou použity ve výuce pro její usnadnění. Pro vytvoření virtuálních modelů je třeba nalézt matematicko-fyzikální popis systémů (HORÁČEK, P., 1999), (FRANKLIN, G. F. et al., 2005) a to systému vodárny s jednou nádrží, který je plněn pomocí zubového čerpadla, systému vodárny také s jednou nádrží, ale plněného odstředivým čerpadlem, systému inverzního kyvadla a následné vytvoření virtuálních modelů těchto systémů a také vytvoření virtuální reality systému vodárny se dvěmi vodními nádržemi pro kapalinu, který je umístěn v laboratoři K26 katedry řídicí techniky fakulty elektrotechnické českého vysokého učení technického v Praze.

Pro získání matematicko-fyzikálního popisu těchto systémů se nejprve musíme seznámit se základními fyzikálními vlastnostmi těles, ze kterých jsou tyto systémy složeny, dále pak definovat pojmy, které budeme používat.

Vlastní matematicko-fyzikální popis dynamického chování reálného systému můžeme dostat použitím vzorců klasické fyziky, nebo pomocí Lagrangeových rovnic. K matematicko-fyzikálnímu popisu systémů vodáren bylo využito vzorců klasické fyziky, popisujících dynamiku reálných systémů. Matematicko-fyzikální model systému inverzního kyvadla byl vytvořen pomocí Lagrangeových rovnic druhého druhu.

Kapitola 2

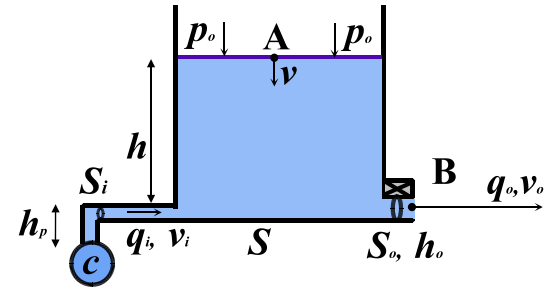
Systém vodárny se zubovým čerpadlem

2.1 Matematicko-fyzikální popis

Vodárna je soustava složená ze zubového čerpadla, nádrže, přítokového a odtokového potrubí viz obr. 2.1. Čerpadlo čerpá kapalinu do nádrže a ta z ní odtéká výtokovým ventilem (místo B na obr. 2.1).

Pro odvození matematického modelu vodárny si nejdříve zopakujme některé základní vlastnosti kapalin (FEYNMAN, R. P. et al., 2001). Kapalina je látka, jejíž molekuly vyvouzují malé přitažlivé síly, tudíž má možnost se přemisťovat i vlivem slabých silových polí, tj. proudit. Tyto malé molekulární síly způsobují, že kapalina má schopnost zaplnit spojitě část objemu nádrže (v klidu s minimální potenciální energií). Dalším projevem těchto mezmolekulových sil je kapilarita, která způsobuje odlišné mechanické vlastnosti vrstvy kapaliny na volném povrchu, které jsou důsledkem nerovnoměrného působení vnitřních molekul.

Fyzikální veličinou charakterizující makroskopické vlastnosti kapalin je především hustota ρ [kg m^{-3}] definovaná jako podíl hmotnosti elementární částice kapaliny dm [kg] a jejího elementárního objemu kapaliny dV [m^3]



Obrázek 2.1: Systém vodárna

$$\rho = \frac{dm}{dV}.$$

Účinek elementární tlakové síly kapaliny dF [N] na element povrchu dS [m^2] vyjadřuje fyzikální veličina zvaná tlak p [Pa]

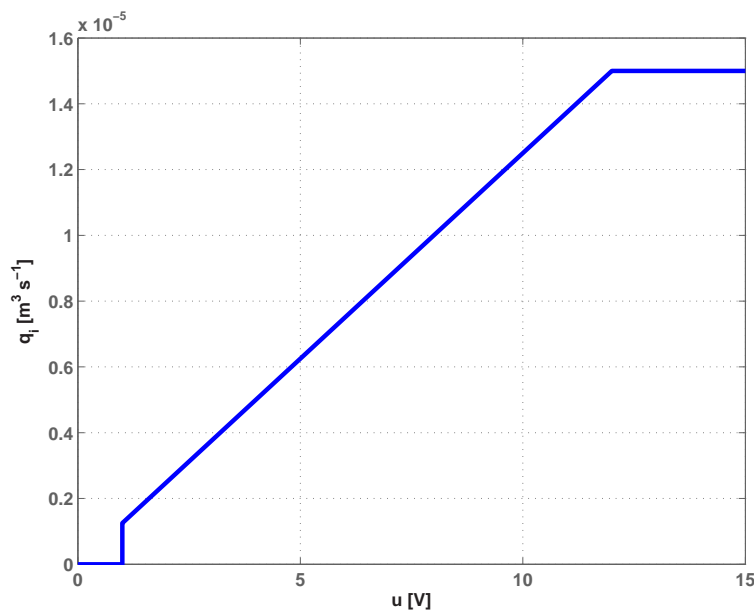
$$p = \frac{dF}{dS}.$$

Stlačitelností kapaliny rozumíme závislost objemu V na tlaku p za konstantní teploty.

Na obr. 2.1 uvažujeme nádrž naplněnou ideální kapalinou (nestlačitelná a dokonale tekutá – při pohybu se všechny částice pohybují přímočaře se stejnou rychlostí) do výšky h [m]. Objem V [m^3] kapaliny v nádrži vyjádříme jako $V(t) = Sh(t)$, kde S [m^2] je průřez nádrže. Potom změna objemu kapaliny v nádrži dV je rovna rozdílu mezi přítokem kapaliny do nádrže q_i [$\text{m}^3 \text{s}^{-1}$] a výtokem kapaliny z nádrže q_o [$\text{m}^3 \text{s}^{-1}$]

$$S \frac{dh(t)}{dt} = q_i(t) - q_o(t). \quad (2.1)$$

Za předpokladu, že zanedbáme všechny ztráty (ztráty způsobené třením a tvarem potrubí), můžeme přítok q_i vyjádřit jako $q_i(t) = S_i v_i(t)$, kde S_i [m^2] je průřez přítokového potrubí a v_i [m s^{-1}] je rychlosť kapaliny uvnitř přítokového potrubí. Přítok q_i dostaneme přímo z převodní charakteristiky zubového čerpadla $u \rightarrow q_i$ na obr. 2.2, kde u je vstupní napětí zubového čerpadla (dynamiku motoru čerpadla zanedbáme, protože časová konstanta motoru čerpadla je zanedbatelně malá vzhledem k časové konstantě vodárny). Z tohoto obrázku vidíme, že pro rozsah vstupního napětí $u \in \langle 1, 12 \rangle$ V můžeme charakteristiku approximovat lineární funkcí $q_i = 1,25 \cdot 10^{-6} u_i$.



Obrázek 2.2: Převodní charakteristika zubového čerpadla $u_i \rightarrow q_i$

Uvažujeme vliv výtokového ventilu jako konstantu k [-], která nám umožní měnit průřez výtokové trubice

$$k = \frac{S_o}{S_{o_{max}}}, \quad (2.2)$$

kde S_o [m^2] $\in \langle 0, S_{o_{max}} \rangle$ je velikost průřezu výtokového potrubí a $S_{o_{max}}$ [m^2] je maximální velikost průřezu výtokového potrubí. Za tohoto předpokladu pak výtok q_o vyjádříme jako $q_o(t) = kS_{o_{max}}v_o(t)$, kde v_o [m s^{-1}] je rychlosť kapaliny uvnitř výtokového potrubí.

Výtokovou rychlosť v_o můžeme určit z Bernoulliho rovnice (FEYNMAN, R. P. et al., 2001) vyjadřující zákon zachování mechanické energie pro ustálené proudění ideální kapaliny v uzavřené trubici beze ztrát, kterou vyjádříme mezi místem na hladině kapaliny v nádrži (bod A na obr. 2.1) a místem těsně za výtokovým ventilem (bod B na obr. 2.1)

$$\frac{p_o}{\rho} + \frac{v^2(t)}{2} + gh(t) = \frac{p_o}{\rho} + \frac{v_o^2(t)}{2} + gh_o(t). \quad (2.3)$$

V místě A (levá strana rovnice) má kapalina rychlosť v [m s^{-1}], v místě B (pravá strana rovnice) má kapalina rychlosť v_o . V místech A a B se také nachází stejný atmosférický tlak p_o [Pa], který není na obr. 2.1 v místě B z důvodu přehlednosti uveden.

Z rovnice kontinuity pro ustálené proudění ideální kapaliny, taktéž pro místa A a B, tj. $Sv(t) = S_o v_o(t)$ vyplývá, že pokud budeme uvažovat průřez výtokového potrubí S_o zanedbatelně malý vůči průřezu nádrže S , bude pak také rychlosť hladiny kapaliny v nádrži v zanedbatelně malá vůči výtokové rychlosti kapaliny v_o . Tudíž můžeme předpokládat $v \approx 0$. Dále za tohoto předpokladu můžeme uvažovat nulovou výšku hladiny v místě B, tj. $h_o = 0$. Pak výtokovou rychlosť v_o dostaneme z Bernoulliho rovnice (2.3) jako

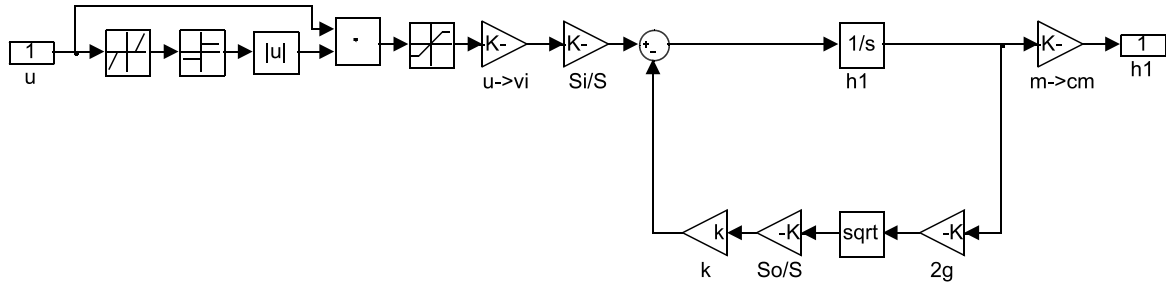
$$v_o(t) = \sqrt{2gh(t)}. \quad (2.4)$$

Rovnici pro změnu výšky hladiny ideální kapaliny v nádrži obdržíme vyjádřením časové změny výšky vodní hladiny z rovnice (2.1), tj. vydělením obou stran této rovnice průřezem nádrže S a dosazením vzorců pro přítok q_i a výtok q_o

$$\frac{dh(t)}{dt} = -k \frac{S_{o_{max}}}{S} \sqrt{2g} \sqrt{h(t)} + \frac{S_i}{S} v_i(t). \quad (2.5)$$

2.2 Simulinkové schéma

Simulinkové schéma kompletního modelu je na obr. 2.3.

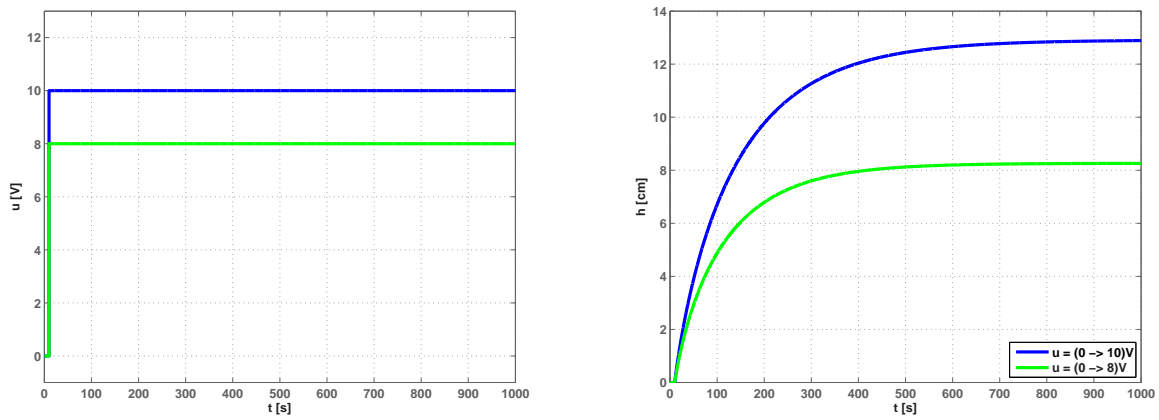


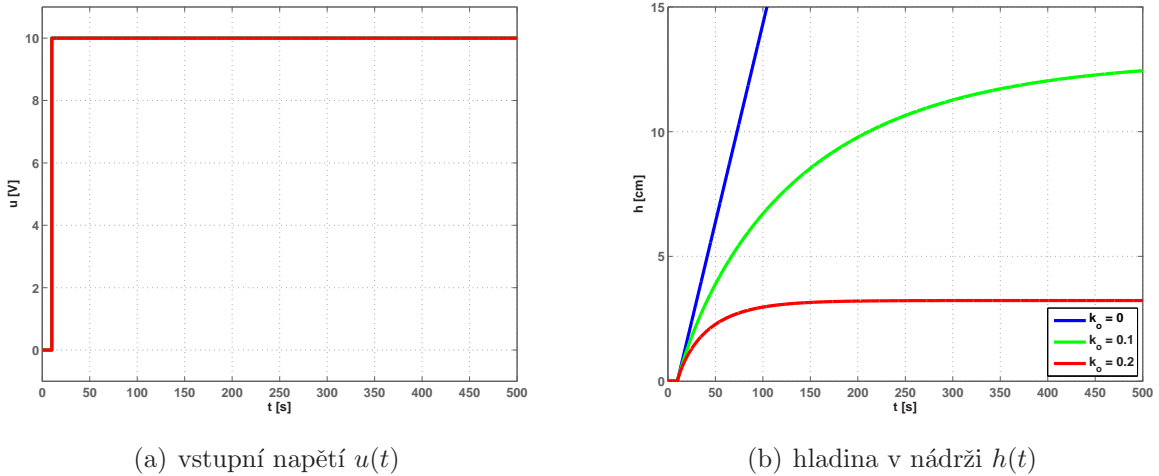
Obrázek 2.3: Simulinkové schéma modelu vodárny

2.3 Simulace systému

Proveďme nyní několik experimentů pro ověření správného fyzikálního chování našeho modelu. Uvažujme tyto parametry vodárny: poloměr nárdže $r = 5\text{ cm}$, poloměr přítokového potrubí $r_i = 0,5\text{ cm}$, poloměr výtokového potrubí $r_o = 0,5\text{ cm}$.

Nejprve ověříme vliv velikosti napětí čerpadla u na načerpávání nádrže při konstantním otevření výtokového ventilu $k = 0,1$. Počáteční výšku hladiny v nádrži uvažujme nulovou $h(0) = 0$. Z obr. 2.4(b) je vidět, že při velikosti vstupního napětí $u = 8\text{ V}$ se hladina ustaluje ve výšce 8 cm , pro velikost vstupního napětí $u = 10\text{ V}$ se hladina ustálí na výšce $12,9\text{ cm}$. Dále je vidět, že s rostoucí ustálenou výškou hladiny se také prodlužuje doba ustálení.

(a) vstupní napětí $u(t)$ (b) hladina v nádrži $h(t)$ Obrázek 2.4: Časové průběhy signálů pro různé vstupní napětí u

Obrázek 2.5: Časové průběhy signálů pro různá otevření ventilu k

Na obr. 2.5(b) můžeme pozorovat změnu výšky hladiny kapaliny v nádrži podle otevřenosti výtokového ventilu k pro vstupní napětí na čerpadlo $u = 10\text{ V}$. Je-li výtokový ventil uzavřen tj. $k = 0$, pak hladina kapaliny roste lineárně. K ustálení hladiny kapaliny ve vodní nádrži dojde, je-li výtokový ventil pootevřen (např. $k = 0,1$ nebo $k = 0,2$). Čím je ventil více pootevřen, tím dochází k rychlejšímu ustálení výšky hladiny a také dochází k menšímu přírůstku okamžité výšky hladiny kapaliny.

2.4 Kontrola simulací systému

Správnost ustálené výšky hladiny kapaliny můžeme ověřit výpočtem: v ustáleném stavu platí $q_i = q_o$, tudíž můžeme ze vzorce pro výtok $q_o = S_o v_o$ určit výtokovou rychlosť v_o , například pro $u = 10\text{ V}$ je

$$v_o = \frac{q_o}{S_o} = \frac{1,25 \cdot 10^{-6}}{\pi \cdot 0,1 \cdot 0,005^2} \doteq 1,59 \text{ m s}^{-1}.$$

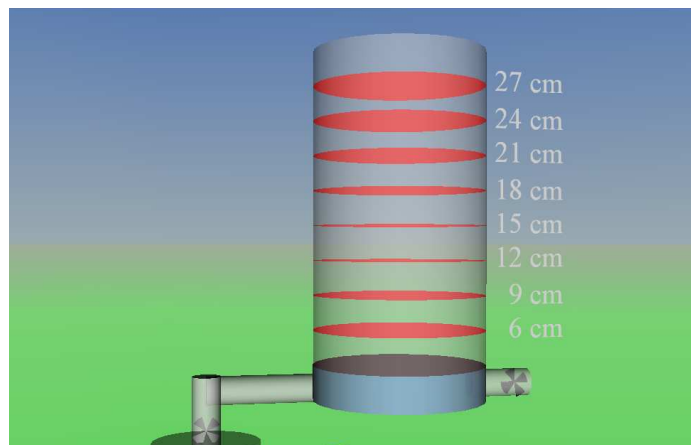
Z rovnice (2.4) vyjádříme výšku h

$$h = \frac{v_o^2}{2g} = \frac{1,59^2}{2 \cdot 9,81} \doteq 0,129 \text{ m},$$

neboli $h \doteq 12,9\text{ cm}$, což je v souladu se simulacemi na obr. 2.4(b).

2.5 Virtuální model systému

Rovnice (2.5) byla také použita pro vytvoření virtuálního modelu vodárny s ideální kapalinou a se zanedbáním ztrát způsobených třením a ztrát způsobených změnou tvaru potrubí, viz příloha A «[Water_Tank](#)». Tento virtuální model byl vytvořen pomocí Virtual Reality Toolboxu v Matlabu (*The Mathworks [online]*, 2007). Virtuální svět tohoto systému je uveden na obr. 2.6



Obrázek 2.6: Virtuální svět systému vodárny

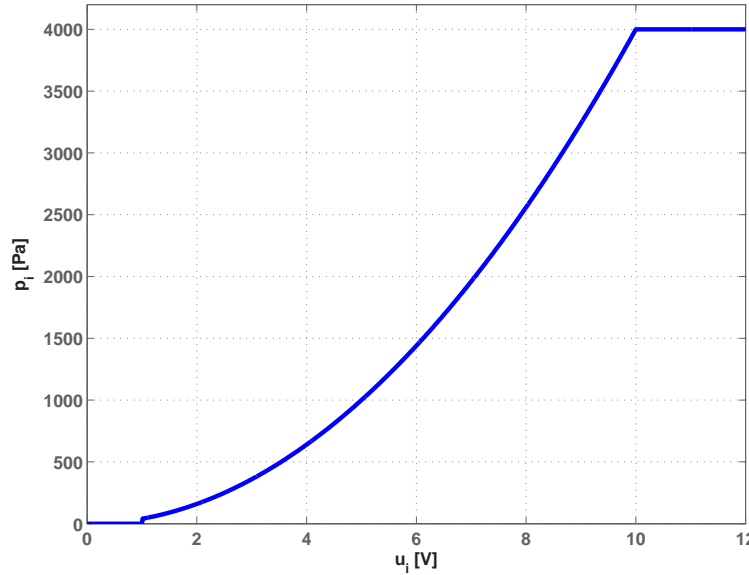
Vstupem do systému virtuální reality je vstupní napětí u na zubovém čerpadle c . Výstupem je okamžitá výška kapaliny v nádrži $h(t)$. Dále je v tomto modelu možno nastavit pásmo necitlivosti a saturace čerpadla, poloměr nádrže r [cm], poloměr přítokového potrubí r_i [cm], maximální poloměr výtokového potrubí $r_{o_{max}}$ [cm], počáteční výšku hladiny kapaliny v nádrži $h(0)$ [cm] a otevření výtokového ventilu pomocí jeho konstanty $k \in \langle 0, 1 \rangle$, kde hodnota konstanty $k = 1$ značí úplné otevření tohoto ventilu, hodnota $k = 0$ pak značí úplné uzavření výtokového ventilu k .

Kapitola 3

Systém vodárny s odstředivým čerpadlem

3.1 Matematicko-fyzikální popis

Uvažujme nyní, že vodárna z kapitoly 2 je plněna pomocí odstředivého čerpadla, které je narozdíl od zubového čerpadla zdrojem konstantního tlaku v přítokovém potrubí při konstantním vstupním napětí. Toto odstředivé čerpadlo je umístěno přímo na hladině zásobníku s kapalinou. Převodní charakteristika vstupního napětí u_i [V] na tlak za čerpadlem v přítokovém potrubí p_i [Pa] tohoto odstředivého čerpadla je na obr. 3.1. Z tohoto obrázku určíme matematickou approximaci této chatakeristiky jako $p_i = 40 u_i^2$ pro $u_i \in \langle 1, 10 \rangle$ V.



Obrázek 3.1: Převodní charakteristika odstředivého čerpadla $u \rightarrow p_i$

Přítok kapaliny do nádrže vyjádříme rovněž jako v kapitole 2, čili $q_i(t) = S_i v_i(t)$. Pro určení přítokové rychlosti kapaliny v_i sestavíme Bernoulliho rovnici, kterou budeme uvažovat pro místo za odstředivým čerpadlem (levá strana rovnice) a místo na hladině kapaliny ve vodní nádrži (pravá strana rovnice)

$$\frac{p_o + p_i(t)}{\rho} + \frac{v_i^2(t)}{2} + gh_i = \frac{p_o}{\rho} + \frac{v^2(t)}{2} + gh(t). \quad (3.1)$$

Jelikož místo, kde přítoková trubice ústí do nádrže, pokládáme za nulovou hladinu, pak $h_i = 0$. Dále, protože průřez přítokového potrubí S_i je zanedbatelně malý vůči průřezu nádrže S , můžeme opět považovat $v_i \gg v$, tudíž $v \approx 0$. V místě na hladině kapaliny v nádrži je atmosférický tlak p_o , pro jehož velikost platí $p_o \doteq 10^5$ Pa. Za těchto předpokladů se Bernoulliho rovnice (3.1) zjednoduší na

$$\frac{p_i(t)}{\rho} + \frac{v_i^2(t)}{2} = gh(t).$$

Z této rovnice vyjádříme přítokovou rychlosť v_i

$$v_i(t) = \text{sign} \left(2gh(t) - \frac{2p_i(t)}{\rho} \right) \sqrt{\left| 2 \left(gh(t) - \frac{p_i(t)}{\rho} \right) \right|}. \quad (3.2)$$

Tato rovnice však nerespektuje směr přitékající kapaliny, neboť člen $2gh(t)$ pravé strany rovnice (3.2) se vztahuje k rychlosti kapaliny, která z nádrže vytéká. Člen $p_i(t)/\rho$ se vztahuje k rychlosti kapaliny, která do nádrže přitéká vlivem odstředivého čerpadla.

Zvolíme-li směr přitékající kapaliny do nádrže za kladný, pak rovnice (3.2) přejde na

$$v_i(t) = \text{sign} \left(\frac{2p_i(t)}{\rho} - 2gh(t) \right) \sqrt{\left| 2 \left(\frac{p_i(t)}{\rho} - gh(t) \right) \right|}. \quad (3.3)$$

Takto upravený vzorec již respektuje směr kapaliny v přítokovém potrubí. Je-li rychlosť přitékající kapaliny menší než rychlosť kapaliny vytékající z nádrže, pak se kapalina vraci do zásobníku kapaliny i prostřednictvím přítokového potrubí. Čili pro přítok q_i platí

$$q_i(t) = S_i \text{sign} \left(\frac{2p_i(t)}{\rho} - 2gh(t) \right) \sqrt{\left| 2 \left(\frac{p_i(t)}{\rho} - gh(t) \right) \right|}. \quad (3.4)$$

Odtok q_o zůstává stejný jako v případě vodárny plněné zubovým čerpadlem

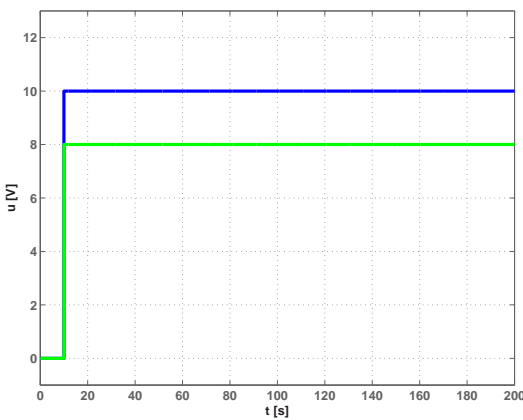
$$q_o(t) = -k S_{o_{max}} \sqrt{2g} \sqrt{h(t)}. \quad (3.5)$$

Dosadíme-li rovnice pro přítok (3.4) a rovnici pro výtok (3.5) do rovnice (2.1), dostaneme rovnici časové změny vodní hladiny v čase

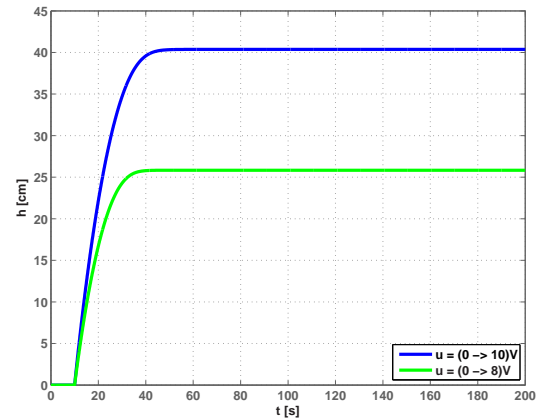
$$\frac{dh(t)}{dt} = -k \frac{S_{o_{max}}}{S} \sqrt{2g} \sqrt{h(t)} + \frac{S_i \text{sign} \left(\frac{2p_i(t)}{\rho} - 2gh(t) \right) \sqrt{\left| 2 \left(\frac{p_i(t)}{\rho} - gh(t) \right) \right|}}{S}. \quad (3.6)$$

3.2 Simulace systému

Proveďme nyní opět několik simulací systému vodárny plněné odstředivým čerpadlem. Výsledky těchto simulací jsou na obr. 3.2 a na obr. 3.3

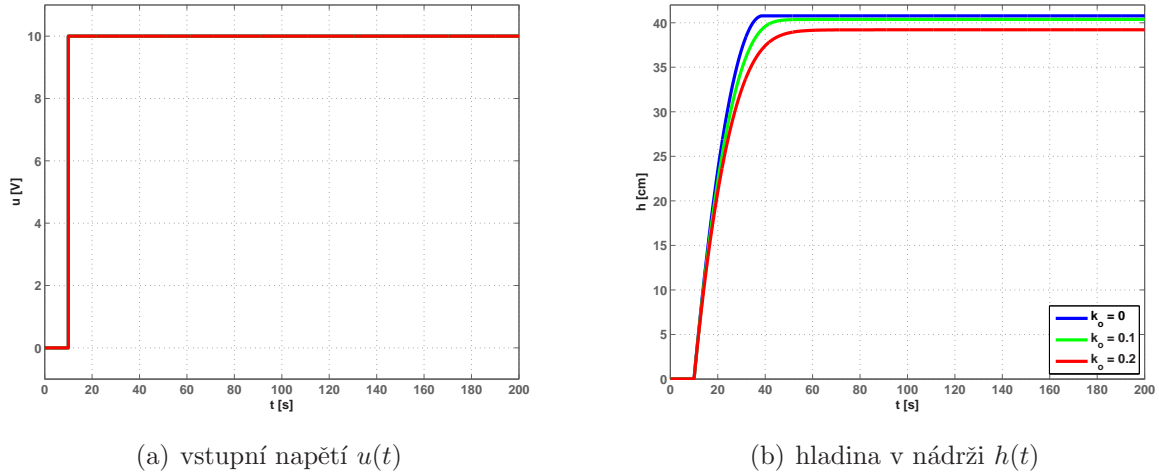


(a) vstupní napětí $u(t)$



(b) hladina v nádrži $h(t)$

Obrázek 3.2: Časové průběhy signálů pro různé vstupní napětí u



Obrázek 3.3: Časové průběhy signálů pro různá otevření ventilu k

Z výsledků simulací můžeme na obr. 3.2(b) pozorovat, že kapalina se při velikosti vstupního napětí $U = 10$ V ustálí na hladině $\doteq 40,5$ cm a při velikosti vstupního napětí $U = 8$ V se kapalina ustálí na hladině $h = 26$ cm. Na obr. 3.3(b) můžeme opět pozorovat vliv otevřenosti ventilu na výšku ustálené hladiny při vstupním napětí $U = 10$ V. Zde je vidět hlavní rozdíl mezi zubovým a odstředivým čerpadlem. Zatímco u zubového čerpadla hladina při vstupním napětí $U = 10$ V lineárně rostla, při použití odstředivého čerpadla dojde k ustálení hladiny kapaliny v nádrži, neboť je-li hydrostatický tlak u dna nádrže vyvolaný výškou kapaliny v nádrži větší než hydrostatický tlak vznikající za odstředivým čerpadlem při daném vstupním napětí, kapalina se vrací přítokovým potrubím zpět do zásobníku s kapalinou, dokud se oba tyto tlaky nevyrovnanají. Pro otevření ventilu $k = 0,1$ se kapalina ustahuje ve výšce $h \doteq 40,6$ cm a pro otevření ventilu $k = 0,2$ se hladina ustahuje ve výšce $h \doteq 39,2$ cm.

3.3 Kontrola simulací systému

Nyní ještě provedeme kontrolu této simulace například pro otevření výtokového ventilu $k = 0,2$. Poloměr výtokového i přítokového potrubí je $r_i = r_o = 0,5$ cm, vstupní napětí na odstředivém čerpadle je $U = 10$ V. V ustáleném stavu opět platí rovnice kontinuity

$S_i v_i = S_o v_o$, dosazením za v_i vzorec (3.3) dostáváme

$$S_i \sqrt{2 \left(\frac{p_i}{\rho} - gh \right)} = S_o k \sqrt{2gh}.$$

Pro ustálenou výšku h dostáváme z této rovnice

$$h = \frac{S_i^2 p_i}{(k^2 S_o^2 g + g S_i^2) \rho}.$$

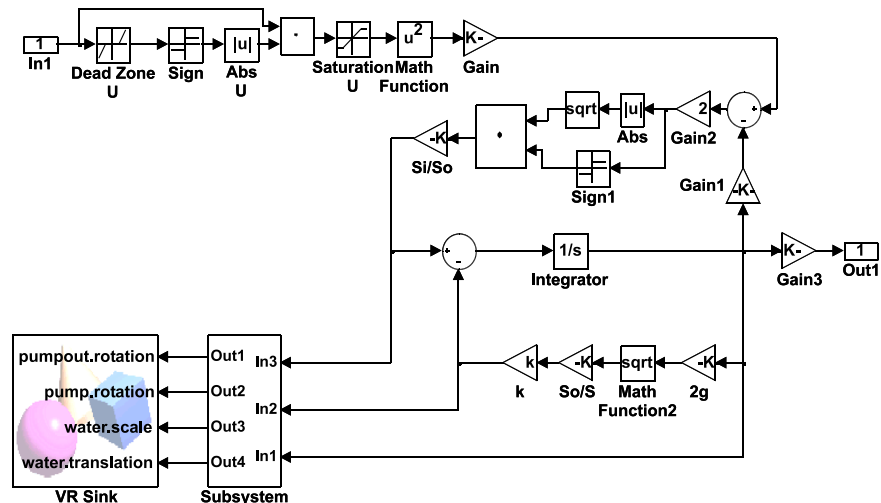
Protože přítokové i výtokové potrubí mají stejný průřez, rovnice (3.3) se zjednoduší na

$$h = \frac{p_i}{(k^2 g + g) \rho} = \frac{40 \cdot 10^2}{(0,2^2 \cdot 9,81 + 9,81)1000} \doteq 0,392 \text{m},$$

neboli $h \doteq 39,2 \text{cm}$, což souhlásí se simulací z obr. 3.3(b).

3.4 Virtuální model systému

Pro vytvoření virtuálního modelu systému vodárny s odstředivým čerpadlem byla použita rovnice (3.6). Tento virtuální model je možné nalézt v příloze A «Water_Tank2». Na obr. 3.4 je zobrazeno simulinkové schéma tohoto systému s připojením k virtuálnímu modelu.



Obrázek 3.4: Simulinkové schéma

Tento systém využívá pro virtuální realitu stejný virtuální svět, jaký byl použit pro systém vodárny se zubovým čerpadlem v kapitole 2. I zde kapalinu považujeme za

ideální a zanedbáváme ztráty způsobené třením. Vstup, výstup i nastavitelné parametry virtuálního modelu jsou stejné jako v kapitole 2.

Kapitola 4

Systém inverzní kyvadlo

4.1 Matematicko-fyzikální popis

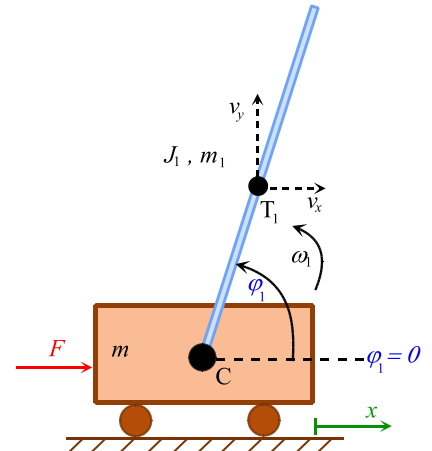
Inverzní kyvadlo je systém složený z pohyblivého vozíku hmotnosti m [kg] a tyče délky l_1 [m] a hmotnosti m_1 [kg], viz obr. 4.1.

Tento vozík se může vlivem vnější síly $F(t)$ [N] pohybovat ve směru x -ové souřadnice. Tyč je s vozíkem spojená otáčivým čepem a může se otáčet kolem tohoto čepu úhlovou rychlostí $\omega_1(t)$ [rad s⁻¹]. Fyzikální popis dynamického chování celého modelu můžeme odvodit např. pomocí Lagrangeových rovnic druhého druhu (FEYNMAN, R. P. et al., 2001), které jsou založeny na principu virtuálních prací. Podle principu virtuálních prací je virtuální práce $\delta A(t)$ [J] všech zobecněných sil $Q_i(t)$ [-] působících na těleso nebo soustavu těles v rovnováze rovna nule

$$\delta A(t) = \sum_{i=1}^n Q_i(t) \delta q_i(t) = 0, \quad (4.1)$$

kde n je počet stupňů volnosti soustavy, $\delta q_i(t)$ [-] značí zobecněný virtuální posuv po zobecněné souřadnici.

Zobecněnými souřadnicemi rozumíme geometrickou konfiguraci mechanické soustavy o n stupních volnosti, která může být určena různými způsoby. Vždy je však k tomu zapotřebí n veličin, například vzdáleností či úhlů. Zobecněnými souřadnicemi mohou být třeba kartézské souřadnice, ale také jakékoli jiné. Zobecněné souřadnice mohou mít i různý



Obrázek 4.1: Inverzní kyvadlo

fyzikální rozměr. Virtuální posuv je posuv, který může, ale nemusí nastat po zobecněné souřadnici. Je výsledkem působení zobecněné síly, která taktéž může mít různý fyzikální rozměr.

Síly působící v soustavě můžeme rozdělit na konzervativní a nekonzervativní (FEYN-MAN, R. P. et al., 2001). Konzervativní síly zachovávající energetickou bilanci systému. Příkladem konzervativních sil je například tíhová síla nebo síla elektrostatická. Nekonzervativní síly nezachovávají energetickou bilanci systému, čili dochází ke ztrátám energie. Jde například o síly tření nebo o odpor prostředí.

Základní Lagrangeova rovnice druhého druhu má tvar

$$\frac{d}{dt} \frac{\partial L(t)}{\partial \dot{q}_i(t)} - \frac{\partial L(t)}{\partial q_i(t)} = Q_i^*(t), \quad (4.2)$$

kde L [J] je Lagrangeova funkce, zvaná též Lagrangian, q_i [-] je zobecněná souřadnice, Q_i^* [-] je zobecněná nekonzervativní síla. Index i nabývá hodnot $i = 1, \dots, n$. Lagrangeova funkce L představuje rozdíl mezi kinetickou energií celé soustavy E_k [J] a potenciální energií celé soustavy E_p [J]

$$L(t) = E_k(t) - E_p(t) \quad (4.3)$$

Pro sestavení pohybových rovnic systému Lagrangeovou metodou musíme určit:

1. nezávislé zobecnělé souřadnice q_1, q_2, \dots, q_n , kde n je stupeň volnosti soustavy,
2. kinetickou energii E_k celé soustavy, jako funkci rychlostí $\dot{q}_1, \dot{q}_2, \dots, \dot{q}_n$ zobecnělých souřadnic q_1, q_2, \dots, q_n ,
3. potenciální energii E_p celé soustavy jako funkci zobecněných souřadnic q_1, q_2, \dots, q_n ,
4. Lagrangeovu funkci (4.3),
5. všechny zobecněné nekonzervativní síly $Q_1^*(t), Q_2^*(t), \dots, Q_n^*(t)$,
6. odvození pohybových rovnic podle vztahu (4.2).

Dle předchozího postupu nejprve určíme nezávislé zobecněné souřadnice soustavy inverzního kyvadla umístěného na pohyblivém vozíku. Tato soustava má dva stupně volnosti, tudíž budeme mít celkem dvě nezávislé zobecněné souřadnice q_1 a q_2 . Jako první nezávislou zobecněnou souřadnici soustavy inverzního kyvadla q_1 určíme úhel kyvadla φ_1 [rad s^{-1}], čili $q_1 = \varphi_1$. Druhou zobecněnou souřadnicí soustavy q_2 je souřadnice v ose x [m], čili $q_2 = x$.

Když již máme zjištěné zobecněné souřadnice soustavy, můžeme přejít k určení kinetické energie celé soustavy. Kinetické energie závisí na hmotnosti tělesa a jeho rychlosti. Tato soustava se skládá z tyče hmotnosti m_1 , která je na jednom jejím konci připevněná k pohyblivému vozíku, který se může pohybovat rychlostí $v(t) = \dot{x}(t)$. Tyč rotuje kolem čepu úhlovou rychlostí $\omega_1(t) = \dot{\varphi}_1(t)$. Jelikož tyč koná rotační pohyb, má rychlosť tyče dvě složky. První složkou je rychlosť tyče ve směru osy x , druhou složkou je rychlosť tyče ve směru osy y . Rychlosť tyče v ose x označíme v_{1_x} a rychlosť tyče v ose y označíme v_{1_y} . Nyní si rotující tyč představíme jako jediný hmotný bod (těžiště) rotující kolem ramene, které se nachází přesně v polovině tyče, neboť předpokládáme, že tyč je vyrobena z homogenního materiálu. Z obr. 4.1 plyne, že x -ová a y -nová složka souřadnic těžiště tyče jsou

$$\begin{aligned} x_1(t) &= x(t) + \frac{l_1}{2} \cos \varphi_1(t) \\ y_1(t) &= \frac{1}{2} l_1 \sin \varphi_1(t) \end{aligned}$$

Jelikož x -ová složka rychlosťi tyče v_{1_x} je časová derivace souřadnice x_1 a také y -ová složka rychlosťi tyče v_{1_y} je časovou derivací souřadnice y_1 , dostáváme pro jednotlivé složky rychlosťi tyče

$$\begin{aligned} v_{1_x}(t) &= \dot{x}_1(t) = \dot{x}(t) - \frac{l_1}{2} \dot{\varphi}_1(t) \sin \varphi_1(t), \\ v_{1_y}(t) &= \dot{y}_1(t) = \frac{l_1}{2} \dot{\varphi}_1(t) \cos \varphi_1(t). \end{aligned}$$

Jelikož je rychlosť tyče v_1 vektor, pak pro velikost vektoru rychlosťi tyče platí

$$v_1^2(t) = v_{1_x}^2(t) + v_{1_y}^2(t) = \dot{x}^2(t) - \dot{x}(t) \dot{\varphi}_1(t) l_1 \sin \varphi_1(t) + \frac{l_1^2}{4} \dot{\varphi}_1^2(t).$$

Pak kinetická energie této tyče bude mít tvar

$$E_{k_1}(t) = \frac{1}{2} m_1 v_1^2(t) + \frac{1}{2} J_1 \omega_1^2(t),$$

kde J_1 [kg m^2] je moment setrvačnosti ramene tyče k čepu.

Obecně, velikost momentu setrvačnosti J závisí na rozložení hmoty v tělese vzhledem k ose otáčení. Body (části) tělesa s větší hmotností a umístěném dál od osy mají větší mo-

ment setrvačnosti. Pro velikost momentu setrvačnosti obecného tělesa platí vztah

$$J = \int_{(m)} r^2 dm, \quad (4.4)$$

kde r [m] je vzdálenost nekonečně malého elementu hmotnosti dm [kg] o elementárním objemu dV [m^3] od osy otáčení O , viz obr. 4.2. Tyč je vyrobena z homogenního materiálu, takže má v každém místě stejnou hustotu ρ . Jelikož platí $dm = \rho dV$, můžeme rovnici (4.4) napsat také jako

$$J = \int_{(V)} \rho r^2 dV.$$

Tyč má konstantní kruhový průřez S , takže nekonečně malý objem tyče dV můžeme vyjádřit $dV = S dl$, takže

$$J = \rho S \int_0^{\frac{l}{2}} r^2 dr = \frac{\rho S l^3}{24}.$$

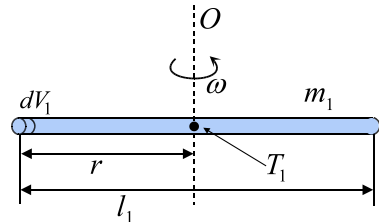
Dosadíme-li do rovnice (4.1) za hustotu tyče ρ

$$\rho = \frac{m}{V} = \frac{m}{S \frac{l}{2}},$$

pak dostaneme vzorec pro výpočet momentu setrvačnosti rotující tyče hmotnosti m a délky l vůči ose kolmé na tuto tyč a procházející těžištěm této tyče

$$J = \frac{1}{12} m l^2.$$

Tyč inverzního kyvadla ovšem nerotuje kolem osy procházející jejím středem, ale otáčí se kolem jednoho jejího konce. Tuto skutečnost vyřešíme pomocí Steinerovy věty (FEYNMAN, R. P. et al., 2001), které určuje moment setrvačnosti tělesa vzhledem k ose neprocházející jejím těžištěm. Steinerova věta má tvar $J_s = J_0 + m d$, kde J_s je výsledný moment setrvačnosti, J_0 je moment setrvačnosti tělesa vzhledem k ose procházející jejím těžištěm, m je hmotnost tělesa, d je vzdálenost mezi osou procházející těžištěm tělesa a osou procházející mimo těžiště tělesa. V našem případě je moment setrvačnosti J_0 roven momentu setrvačnosti J , který je odvozen v rovnici (4.1) a pro vzdálenost d platí $d = l/2$. Pak výsledný moment setrvačnosti tyče rotující kolem osy procházející jedním z jejích



Obrázek 4.2: Moment setrvačnosti

koncových bodů má tvar

$$J_s = \frac{1}{12} m l^2 + m \left(\frac{l}{2} \right)^2 = \frac{1}{3} m l^2. \quad (4.5)$$

Jelikož v našem případě je vzhledem k těžišti délka tyče $l = l_1/2$, pak bude mít výsledná kinetická energie rotující tyče připevněné k pohyblivému vozíku tvar

$$E_{k_1}(t) = \frac{1}{2} m_1 v_1^2(t) + \frac{1}{6} m_1 \left(\frac{l_1}{2} \right)^2 \dot{\varphi}_1^2(t).$$

Pro kinetickou energii vozíku, který se pohybuje po x -sové souřadnici, platí vztah

$$E_{k_v}(t) = \frac{1}{2} m_v \dot{x}(t).$$

Pro kinetickou energii celé soustavy platí

$$E_k(t) = E_{k_v}(t) + E_{k_1}(t). \quad (4.6)$$

Dalším bodem je určení potenciální energie celé soustavy. Potenciální energie je druh energie, kterou má každé těleso nacházející se v potenciálním poli určité síly (FEYNMAN, R. P. et al., 2001). Podle síly působící na dané těleso lze rozlišit více druhů potenciální energie, např. gravitační potenciální energie, potenciální energie pružnosti, atd.. Potenciální energie může nabývat kladných i záporných hodnot. Potenciální energie je relativní, záleží na tom, vzhledem k čemu se vztahuje. Při výpočtech se nulová hladina potenciální energie volí zpravidla v rovnovážné poloze, kde jsou příslušné síly v rovnováze, nebo v nekonečnu, kde je velikost příslušných sil na těleso nulová. Kyvadlo je umístěné v gravitačním poli země, čili na něj působí gravitační potenciální energie. Pro potenciální energii kyvadla platí

$$E_{p_1}(t) = m_1 g y_1(t) = \frac{1}{2} l_1 m_1 g \sin \varphi_1(t),$$

kde g [m s^{-2}] je tříhové zrychlení.

Vozík se pohybuje pouze po ose x . Proto nedochází ke změně jeho potenciální energie $E_{p_v} = m_v g h_v$, položíme-li vozík do nulové hladiny potenciální energie $h_v = 0$, pak bude i jeho celková potenciální energie rovna nule a celková potenciální energie soustavy bude

$$E_p(t) = E_{p_1}(t) \quad (4.7)$$

Nyní již známe celkovou kinetickou energii soustavy i celkovou potenciální energii soustavy, takže můžeme přistoupit k sestavení Lagrangeovy funkce L

$$\begin{aligned} L(t) = E_k(t) - E_p(t) &= \frac{1}{2} m_v \dot{x}^2(t) + \frac{1}{2} m_1 \left(\dot{x}^2(t) - \dot{x}(t)\dot{\varphi}_1(t)l_1 \sin \varphi_1(t) + \frac{1}{4} l_1^2 \dot{\varphi}_1^2(t) \right) + \\ &+ \frac{1}{6} m_1 \left(\frac{l_1}{2} \right)^2 \dot{\varphi}_1^2(t) - \frac{1}{2} l_1 m_1 g \sin \varphi_1(t). \end{aligned}$$

Nyní určíme nekonzervativní síly Q_i^* v celé soustavě. V případě rotující tyče bude nekonzervativní síla Q_1^* , která tlumí kmity tyče a působí v otáčivém čepu. Pro její velikost platí $Q_1^* = -2\delta_1 J_1 \dot{\varphi}_1(t)$, kde δ_1 [s^{-1}] $\in \langle 0,1 \rangle$ je koeficient tlumení v otáčivém čepu. V případě vozíku je nekonzervativní síla složena z vnější síly $F(t)$ [N] a jejího úbytku způsobeného vlivem tření $\delta_v \dot{x}(t)$, čili pro velikost této nekonzervativní síly Q_2^* platí $Q_2^* = F(t) - \delta_v \dot{x}(t)$, kde δ_v [kg s^{-1}] je koeficient tření pohybujícího se vozíku.

Pohybové rovnice systému nyní sestavíme podle rovnice (4.2) pro jednotlivé nezávislé souřadnice φ_1 a x

$$\frac{d}{dt} \frac{\partial L(t)}{\partial \dot{\varphi}_1(t)} - \frac{\partial L(t)}{\partial \varphi_1(t)} = Q_1^*(t), \quad (4.8)$$

$$\frac{d}{dt} \frac{\partial L(t)}{\partial \dot{x}(t)} - \frac{\partial L(t)}{\partial x(t)} = Q_2^*(t). \quad (4.9)$$

K tomu potřebujeme znát parciální derivace Lagrangeovy funkce podle proměnných \dot{x} , x , $\dot{\varphi}_1$ a φ

$$\begin{aligned} \frac{\partial L(t)}{\partial \dot{\varphi}_1(t)} &= \frac{1}{2} m_1 \left(-\dot{x}(t)l_1 \sin \varphi_1(t) + \frac{2}{3} l_1^2 \dot{\varphi}_1(t) \right) \\ \frac{\partial L(t)}{\partial \varphi_1(t)} &= \frac{1}{2} m_1 (-\dot{x}(t)\dot{\varphi}_1(t)l_1 \cos \varphi_1(t)) - \frac{1}{2} m_1 l_1 g \cos \varphi_1(t) \\ \frac{\partial L(t)}{\partial \dot{x}(t)} &= m \dot{x}(t) + m_1 \dot{x}(t) - \frac{1}{2} l_1 \dot{\varphi}_1(t) \sin \varphi_1(t) \\ \frac{\partial L(t)}{\partial x(t)} &= 0 \end{aligned}$$

Pro sestavení Lagrangeových rovnic druhého druhu potřebujeme dále ještě znát časovou derivaci první a třetí rovnice

$$\frac{d}{dt} \frac{\partial L(t)}{\partial \dot{\varphi}_1(t)} = \frac{1}{2} m_1 \left(-\ddot{x}(t)l_1 \sin \varphi_1(t) - \dot{x}(t)\dot{\varphi}_1(t)l_1 \cos \varphi_1(t) + \frac{2}{3} l_1^2 \ddot{\varphi}_1(t) \right),$$

$$\frac{d}{dt} \frac{\partial L(t)}{\partial \dot{x}(t)} = (m + m_1) \ddot{x}(t) - \frac{1}{2} m_1 l_1 (\ddot{\varphi}(t) \sin \varphi(t) + \dot{\varphi}^2(t) \cos \varphi(t)).$$

Výslednou pohybovou rovnici pro rotující tyč určíme z rovnice (4.8), výslednou pohybovou rovnici pohyblivého vozíku určíme z rovnice (4.9). Výsledné pohybové rovnice rotující tyče a pohyblivého vozíku mají tvar

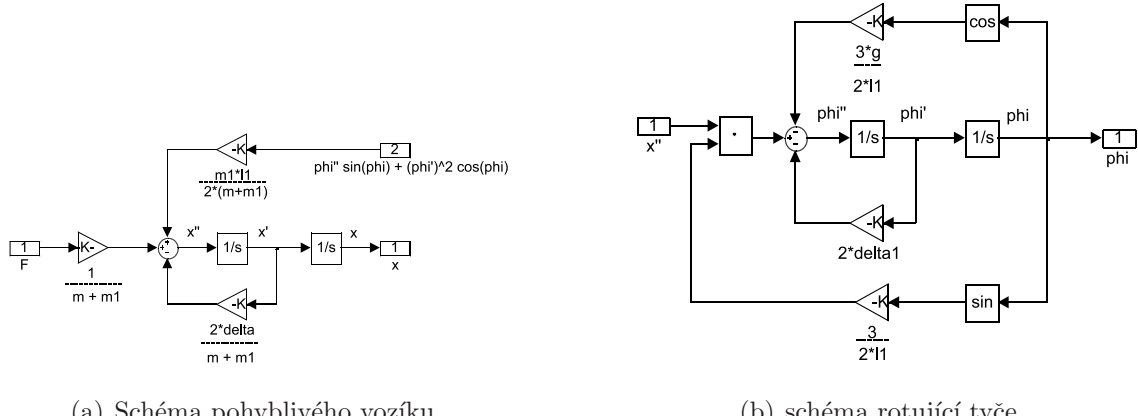
$$\frac{2}{3} \ddot{\varphi}_1(t) + \frac{4}{3} \delta_1 \dot{\varphi}_1(t) + \frac{g}{l_1} \cos \varphi_1 = \frac{1}{l_1} \ddot{x}(t) \sin \varphi_1(t) \quad (4.10)$$

$$(m_v + m_1) \ddot{x}(t) - \frac{1}{2} m_1 l_1 (\ddot{\varphi}_1(t) \sin \varphi_1(t) + \dot{\varphi}_1^2(t) \cos \varphi_1(t)) = F(t) - \delta_v \dot{x}(t) \quad (4.11)$$

4.2 Simulinkové schéma

Pro sestavení simulinkového schématu rotující tyče musíme ještě vyjádřit nejvyšší derivaci $\varphi_1(t)$ z rovnice (4.10). Pro sestavení simulinkového schématu pohyblivého vozíku musíme vyjádřit nejvyšší derivaci $x(t)$ z rovnice (4.11)

$$\begin{aligned} \ddot{\varphi}_1(t) &= -2\delta_1 \dot{\varphi}_1(t) - \frac{3}{2} \frac{g}{l_1} \cos \varphi_1(t) + \frac{3}{2} \frac{1}{l_1} \ddot{x}(t) \sin \varphi_1(t) \\ \ddot{x}(t) &= -\frac{\delta_v \dot{x}(t)}{m_v + m_1} + \frac{m_1 l_1}{2(m_v + m_1)} (\ddot{\varphi}_1(t) \sin \varphi_1(t) + \dot{\varphi}_1^2(t) \cos \varphi_1(t)) + \frac{F(t)}{m_v + m_1} \end{aligned}$$

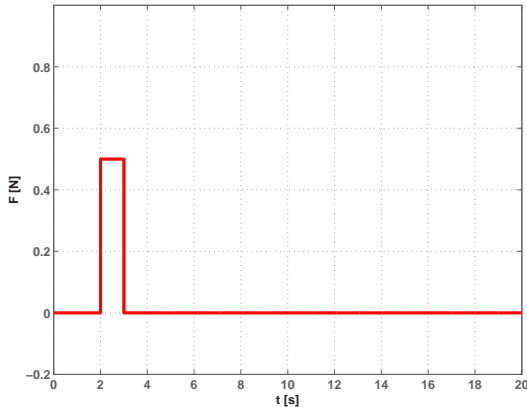
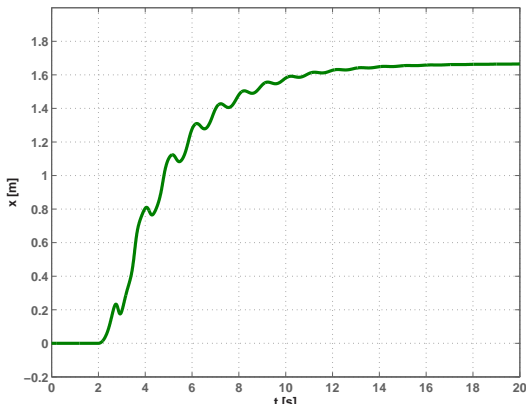
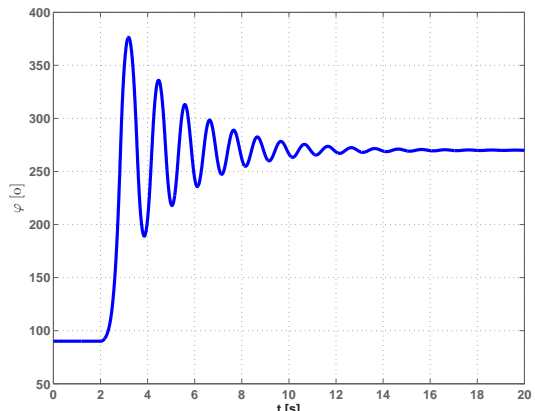


Obrázek 4.3: Simulinková schémata

4.3 Simulace chování systému inverzního kyvadla

Proveďme nyní pár experimentů pro zjištění chování našeho modelu. Uvažujeme pro naši simulaci tyto parametry: hmotnost vozíků $m_v = 0,5 \text{ kg}$, hmotnost tyče $m_1 = 0,275 \text{ kg}$,

délka tyče $l_1 = 0,5$ m, koeficient tlumení v otáčivém čepu $\delta_1 = 0,25 \text{ s}^{-1}$, koeficient tření vozíku $\delta_v = 0,3 \text{ kg s}^{-1}$, počáteční úhel náklonu tyče $\varphi_1(0) = 90^\circ$. Výsledky této simulace jsou na

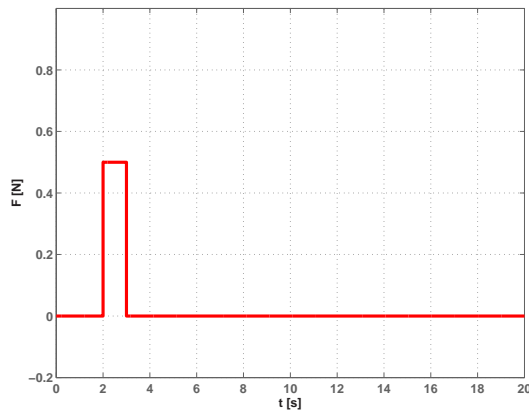
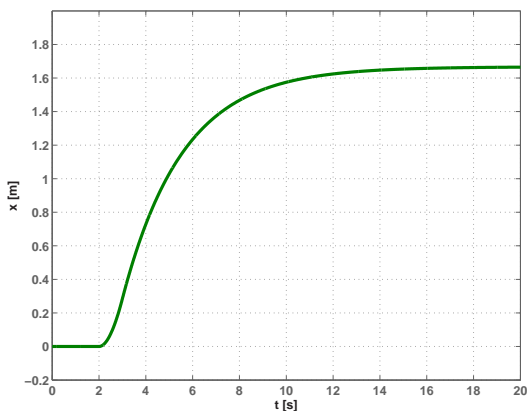
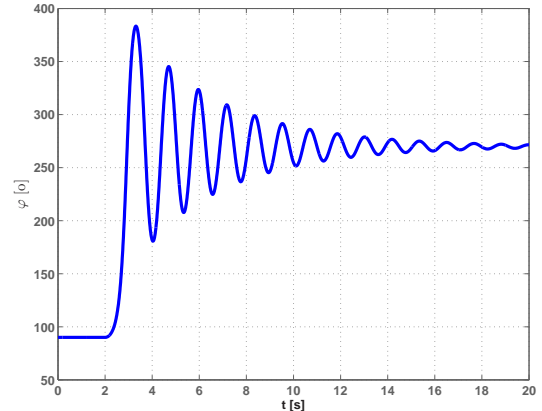
(a) vstupní signál $F(N)$ (b) poloha vozíku $x(t)$ (c) úhel náklonu kyvadla $\varphi_1(t)$

Obrázek 4.4: Časové průběhy simulace

Z obr. 4.4(b) vidíme, jak pohyb tyče ovlivňuje pozici vozíku. Pokud bychom chtěli uvažovat vozík jako tvrdý zdroj polohy (pohyb vozíku není ovlivněn kývající se tyčí), jeho pohybová rovnice by měla tvar

$$\ddot{x}(t) = \frac{F(t)}{m_v + m_1} - \frac{\delta_v}{m_v + m_1} \dot{x}(t). \quad (4.12)$$

Virtuální realita případu, kde vozík je tvrdým zdrojem polohy je A [«InvertedPendulum2»](#). Výsledky této simulace pro stejné parametry simulace, jaké byly použity v případě, kdy vozík nebyl tvrdým zdrojem polohy jsou uvedené na obr. 4.5.

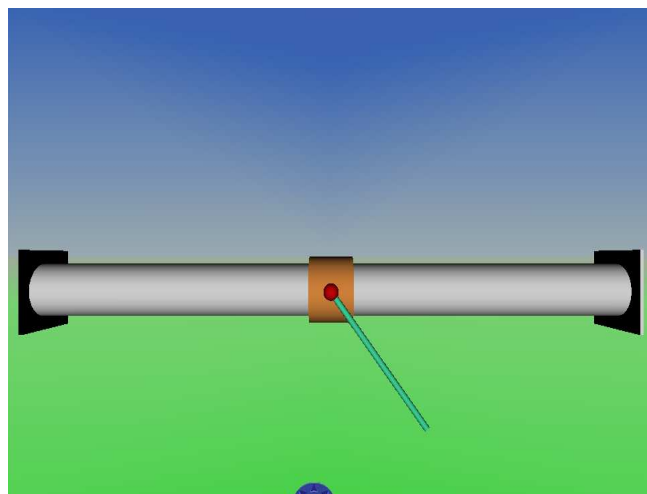
(a) vstupní signál $F(N)$ (b) poloha vozíku $x(t)$ (c) úhel náklonu kyvadla $\varphi_1(t)$

Obrázek 4.5: Časové průběhy simulace inverzního kyvadla

Porovnáme-li tyto dvě simulace, zjistíme, že se od sebe liší obr. 4.4(b), který nemá hladký průběh simulace polohy $x(t)$ a obr. 4.5(b), který má hladký průběh simulace polohy $x(t)$ - poloha vozíku je ovlivněna pouze dočasným působením vnější sily $F(t)$, která vozíku dle druhého Newtonova zákona udílí zrychlení.

4.4 Virtuální realita systému

Simulinková schémata na obr. 4.3 byly použity pro modelování virtuální reality systému inverzního kyvadla, viz příloha A «[InvertedPendulum](#)». Virtuální svět tohoto systému je uveden na obr. 4.6



Obrázek 4.6: Virtuální svět systému vodárnny

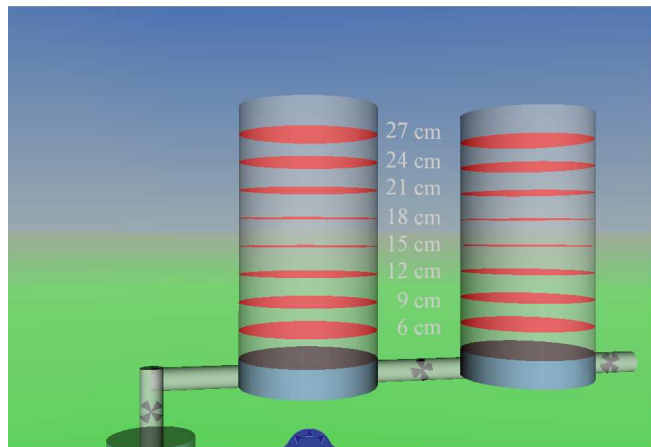
V tomto systému je možné nastavit hmotnost vozíku m_v , hmotnost tyče m_1 , délku tyče l_1 , koeficient tlumení v otáčivém čepu δ_1 , koeficient tření vozíku δ_v a počáteční úhel náklonu tyče $\varphi_1(0)$.

Kapitola 5

Tvorba virtuální reality

Virtuální realita těchto modelů byla vytvořena ve Virtual Reality Toolboxu (*The Mathworks [online]*, 2007), který je součástí Matlabu.

Pro vytvoření virtuálního modelu se musí nejdříve vytvořit svět virtuální reality. Příklad virtuálního světa je uveden na obr. 5.1



Obrázek 5.1: Virtuální svět systému vodárny se dvěma nádržemi

Matlab využívá pro tvorbu virtuálních světů V-Realm Builder, který je součástí Virtual Reality Toolboxu. V-Realm Builder nabízí čtyři základní tvary těles (kvádr, jehlan, válec a kouli). Kromě těchto čtyř základních tvarů má V-Realm Builder knihovnu obsahující již předem vytvořené tvary různých reálných těles (např. z dopravního, stavebního a sportovního odvětví). Mimo tyto již předem definovaná tělesa je ve V-Realm Builderu také možnost vytvoření vlastních těles.

Při tvorbě vlastních těles se nejprve musí vytvořit uzel s transformačními možnosti Transform. Jako Children tohoto uzlu je nutné vložit Shape a jako Geometry následně Insert Extrusion nebo pomocí Insert Indexed Face Set.

Vložením každého libovolného tělesa do světa virtuální reality se získají jeho transformační možnosti. Transformační možnosti jsou: center, rotation, scale, scale orientation, translation, bbox center, bbox size, children. V této práci bylo využito jen některých z uvedených transformačních možností a to: center, rotation, translation, children.

Center jsou geometrické souřadnice středu rotace tělesa. Rotation je vlastní rotace tělesa, u níž můžeme nastavit osu, kolem které bude těleso rotovat (osy x, y, z) a také úhel pootočení tělesa. Translation jsou geometrické souřadnice středu tělesa. Uzel Children se stará o vlastní tvar, rozměry, nastavení barvy, materiálu a jasu daného tělesa. Jako children se může připojit i další libovolné tělesa, která budou mít stejné nastavení transformačních možností.

Je-li již hotový svět virtuální reality daného modelu, zbývá ho ještě spojit se simulinkovým schématem. To umožňuje simulinkový bloček VR Sink, ve kterém otevřeme požadovaný virtuální svět a zatrhneme transformační možnosti těles (těleso musí být přejmenováno - nesmí se jmenovat Transform, což je defaultní název všech objektů v V-Realm Builderu), které jsou potřebné pro simulaci realného pohybu. Zatržené transformační možnosti se objeví jako vstup bločku VR Sink. Do téhoto vstupů se dále napojí signály z vlastního simulinkového shématu. Tyto signály je ještě nutné upravit pomocí simulinkového bločku VR Signal Expander, který umožní simulinkový signál přeměnit na požadovaný vstupní vektor bločku VR Sink.

Kapitola 6

Závěr

V této práci byly vytvořeny virtuální modely systému vodárny s jednou nádrží, který je plněn pomocí zubového čerpadla (viz kapitola 2), systému vodárny taktéž s jednou nádrží, ale plněného odstředivým čerpadlem(viz kapitola 3), systému inverzního kyvadla (viz kapitola 4) a také vytvoření virtuální reality systému vodárny se dvěmi vodními nádržemi pro kapalinu.

Pro systémy vodáren byly v důsledku zjednodušení matematicko-fyzikálního popisu zanedbané ztráty vzniklé třením kapaliny o stěny nádrže, přítokového, výtokového potrubí. Kapalina byla považována za ideální (dokonale tekutá a nestlačitelná).

V kapitole 5 je uveden zjednodušený postup vytvoření virtuálního modelu reálných systémů.

Literatura

FEYNMAN, R. P., LEIGHTON, R. B. a SANDS, M. (2001), *Feynmanovy přednášky z fyziky 2/3*, Fragment. ISBN 80-7200-420-4.

FRANKLIN, G. F., POWELL, J. D. a EMAMI-NAEINI, A. (2005), *Feedback Control of Dynamic Systems*, 5th edn, Prentice-Hall. ISBN 0-13-149930-0.

HORÁČEK, P. (1999), *Systémy a modely*, Praha: Vydavatelství ČVUT. ISBN 80-01-01923-3.

The Mathworks [online] (2007). [cit. 2007-01-20] <<http://www.mathworks.com/>>.

Příloha A

CD

- Kapitola 2 Modelování fyzikálních systémů
 - `Water_Tank`: virtuální model zásobníku vody se zubovým čerpadlem.
- Kapitola 3 Modelování fyzikálních systémů
 - `Water_Tank2`: virtuální model zásobníku vody s odstředivým čerpadlem.
- Kapitola 4 Modelování fyzikálních systémů
 - `InvertedPendulum`: virtuální model inverzního kyvadla s vozíkem, který není tvrdým zdrojem polohy
 - `InvertedPendulum2`: virtuální model inverzního kyvadla s vozíkem, který je tvrdým zdrojem polohy